



УДК 536.25

© С. В. Соловьев, 2007

## ТЕПЛООБМЕН В СБОРКЕ ИЗ ТЕПЛОВЫДЕЛЯЮЩИХ ЭЛЕМЕНТОВ

*Соловьев С. В.* – д-р. физ.-мат. наук, проф. кафедры «Прикладная математика и информатика» (ТОГУ)

С использованием метода R – функций рассчитано поле температуры в сборках с тепловыделяющими элементами различной геометрии. Предложены методика и алгоритм расчета. Для температуры рассматривались граничные условия 1 и 3-го типов. Выписаны нормализованные уравнения участков границы сборок, которые задавались в виде окружности и прямоугольника.

The temperature field in the assemblies with heat releasing elements of different geometry is calculated by R-function method. The technique and algorithm of calculation are proposed. For temperature the boundary conditions of 1 and 3 types were considered. The normalized equations of the assembly border sites which were set in the form of a circle and in the form of a rectangular are pointed out.

Задача обеспечения нормального теплового режима конструктивных элементов (сборок) с тепловыделяющими элементами (ТВЭЛами) является одной из основных при проектировании. Тепловой режим устройства с источником тепла считается нормальным, если температура каждого из его узлов в условиях эксплуатации не превышает допустимых (максимальных) значений и при этом обеспечивается с заданной надежностью работа каждого узла. Для оценки максимальной температуры при эксплуатации ТВЭЛов достаточно знать их тепловые потери и значение температуры на внешней поверхности. Для расчета этих параметров разработан алгоритм решения стационарной задачи теплопроводности с внутренними источниками тепла в сборках с тепловыделяющими элементами различной конфигурации: прямоугольной (круглой) области, имеющей один или несколько прямоугольных (круглых) ТВЭЛов. На поверхностях ТВЭЛов могут задаваться как граничные условия I рода (в общем случае различные значения температуры на поверхности каждого ТВЭЛа),

так и III рода (внутри ТВЭЛов течет жидкость с температурой  $T_{ж}$ . Теплообмен между жидкостью и внутренней поверхностью ТВЭЛов происходит по закону Ньютона-Рихмана с коэффициентом теплообмена  $\alpha_{ж}$ ). Пространство между внешними границами ТВЭЛов и внутренней границей расчетной области заполнено материалом (коэффициент теплопроводности которого  $\lambda$ ) с равномерно распределенными по объему внутренними источниками теплоты постоянной мощности  $q_v$ . Внешняя граница расчетной области всей сборки омывается жидкостью с температурой  $T_c$ , а ее теплообмен с окружающей средой происходит по закону Ньютона-Рихмана с коэффициентом теплообмена  $\alpha_c$ .

Задача решалась методом R-функций [1]. В качестве иллюстрации применения метода R-функций для решения поставленной задачи приведен пример, для которого разработан и построен алгоритм расчета. Рассмотрим конструктивный элемент сборки ТВЭЛов в виде окружности радиуса  $R_3$  (граница расчетной области всей сборки), внутри которой расположены два круглых ТВЭЛа с радиусами  $R_1$  и  $R_2$  (рис. 1).

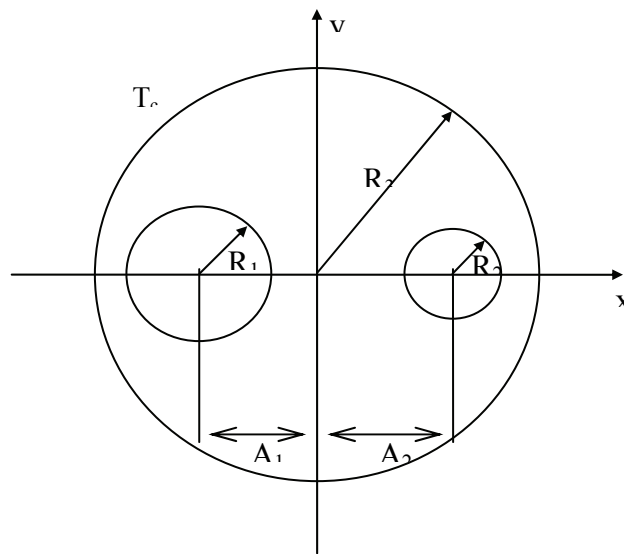


Рис. 1. Геометрия сборки ТВЭЛов:  $\Gamma_1$ ,  $\Gamma_2$  - окружности с радиусами  $R_1$  и  $R_2$ ;

$\Gamma_3$  - окружность радиуса  $R_3$

Математическая постановка стационарной задачи теплопроводности с равномерно распределенными внутренними источниками (стоками) тепла в сборке имеет вид



$$\frac{\partial^2 T}{\partial x^2} + \frac{\partial^2 T}{\partial y^2} + \frac{q_v}{\lambda} = 0.$$

Граничные условия:

$$\begin{aligned} \text{на } \Gamma_1 \quad T &= T_1; \quad \text{на } \Gamma_2 \quad T = T_2; \\ \text{на } \Gamma_3 \quad -\lambda \frac{\partial T}{\partial n} &= \alpha_c (T - T_c). \end{aligned}$$

Здесь  $n$  – внутренняя нормаль.

Для решения задачи методом R-функций были составлены нормализованные уравнения всех трех окружностей:

$$\begin{aligned} \hat{w}_1(x, y) &= -\frac{R_1^2 - (x + A_1)^2 - y^2}{2R_1}, \\ \hat{w}_2(x, y) &= -\frac{R_2^2 - (x - A_2)^2 - y^2}{2R_2}, \\ \hat{w}_3(x, y) &= -\frac{R_3^2 - x^2 - y^2}{2R_3}. \end{aligned}$$

Исходные граничные условия были с помощью R - функций преобразованы в следующие:

$$T|_{D1} = \varphi, \quad \left( \frac{\partial T}{\partial \nu} + hT \right) \Big|_{D2} = \psi,$$

где D1 - граница, которая задается формулой

$$w_1(x, y) = \hat{w}_1(x, y) \cap \hat{w}_2(x, y) = \hat{w}_1 + \hat{w}_2 - \sqrt{\hat{w}_1^2 + \hat{w}_2^2} = 0,$$

а D2 задается формулой

$$w_2(x, y) = \hat{w}_3(x, y) = 0,$$

функция

$$\varphi = \frac{\hat{w}_1 T_2 + \hat{w}_2 T_1}{\hat{w}_1 + \hat{w}_2}$$

задает совокупность граничных условий на внутренних окружностях, а постоянные

$$\psi = \frac{\alpha_c T_c}{\lambda}, \quad h = \frac{\alpha_c}{\lambda}$$

задают граничное условие на внешней окружности.

Таким образом, получена задача со смешанными граничными условиями 1 и 3-го родов. Зная структуру решения для обоих родов гра-

ничных условий и объединяя их, получаем структуру решения для задачи со смешанными условиями

$$u = \frac{1}{w_1 + w_2} (w_1 w_2^2 \Phi_1 + w_2^2 \varphi + w_1 (\Phi_2 - w_2 D_1^{(w_2)} \Phi_2 - h \Phi_2 w_2 + \psi w_2)).$$

Здесь  $D_1^{(w_2)}$  – дифференциальный оператор,  $\Phi_1$  и  $\Phi_2$  в совокупности образуют неопределенную компоненту  $\Phi$ . Представляем  $\Phi_1$  и  $\Phi_2$  в виде рядов

$$\Phi_1(x, y) = \sum_{i,j} B_{ij} T_{ij}(x, y), \quad \Phi_2(x, y) = \sum_{i,j} C_{ij} T_{ij}(x, y),$$

где  $B_{ij}$  и  $C_{ij}$  – неизвестные постоянные,  $T_{ij}(x, y) = P_j\left(\frac{x}{R_3}\right)P_i\left(\frac{y}{R_3}\right)$ ,

где  $P_k(x)$  – полиномы Чебышева, которые масштабируются так, чтобы их аргументы изменялись от -1 до 1.

Подставив эти ряды в структуру решения и сгруппировав получившееся выражение относительно неизвестных постоянных  $a_i$ , получим выражение для  $u$ :

$$u = \sum_{i=1}^{2N} a_i \chi_i(x, y) + \chi_0(x, y), \quad \chi_0(x, y) = \frac{\varphi w_2^2 + \psi w_1 w_2}{w_1 + w_2},$$

$$\chi_i(x, y) = \begin{cases} \frac{T_i w_1 w_2^2}{w_1 + w_2^2}, i < N \\ \frac{(T_{i-N} w_1 - w_1 w_2 \left( \frac{\partial w_2}{\partial x} \frac{\partial T_{i-N}}{\partial x} + \frac{\partial w_2}{\partial y} \frac{\partial T_{i-N}}{\partial y} - h T_{i-N} \right))}{w_1 + w_2^2}, N \leq i < 2N \end{cases}$$

где  $2N$  – общее число неизвестных. Далее первую часть функции  $\chi_i(x, y)$  будем обозначать  $\chi_i^1(x, y)$ , а вторую –  $\chi_i^2(x, y)$ .

Избавимся от функции  $\chi_0(x, y)$ , перейдя к задаче с однородными граничными условиями

$$\Delta u = \frac{q_v}{\lambda} - \Delta \chi_0(x, y), \quad u|_{D_1} = 0, \quad \left. \left( \frac{\partial u}{\partial \nu} + hu \right) \right|_{D_2} = 0.$$

Минимизируя функционал по методу Ритца, получаем систему  $2N$  линейных алгебраических уравнений с  $2N$  неизвестными:

$$\sum_{i=1}^{2N} \left( \int_{\Omega} \Delta \chi_i \chi_k \, d\Omega \right) a_i = \int_{\Omega} \chi_k \left( \frac{q_v}{\lambda} - \Delta \chi_0(x, y) \right) d\Omega, \quad \text{где } k = 1, \dots, 2N.$$

Интегралы по области находились численно, при этом расчетная область триангулировалась фронтальным методом.



На рис. 2 приведены результаты расчета для сборки, представленной на рис. 1.

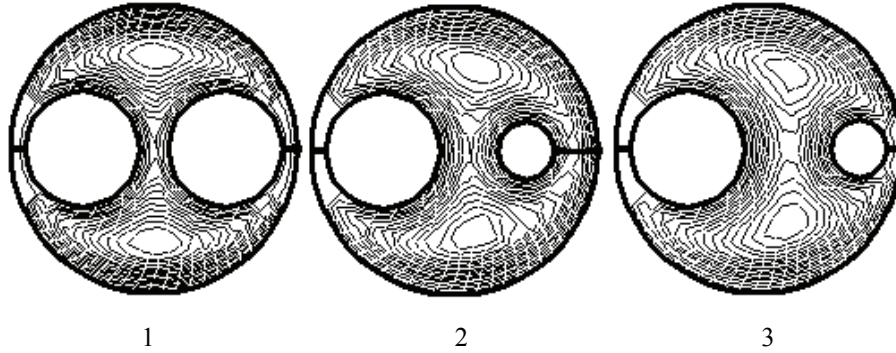


Рис. 2. Изолинии температуры: 1 -  $A_1=A_2=2,5$ ;  $R_2=2$ ; 2 -  $A_1=2,5$ ;  $A_2=3,0$ ;  $R_2=1$ ; 3 -  $A_1=2,5$ ;  $A_2=3,5$ ;  $R_2=1$

Параметры расчетов в этом варианте были следующие:

$$q_v = 1; \alpha_c = 10; \lambda = 0,1; T_1 = 1; T_2 = 2; T_c = 0; R_1 = 2; R_3 = 5.$$

Геометрия рассматриваемой области, а также расчетное поле температуры, приведенные на рис. 2-1, симметрично относительно вертикальной оси, что говорит о достоверности полученных результатов и применяемой методике.

На рис. 3 приведены результаты расчетов для аналогичного, рассмотренного выше, варианта сборки, но с другой геометрией ТВЭЛов. Параметры расчетов в этом варианте были следующие:

$$q_v = 0; \lambda = 0,1; T_1 = 1; T_2 = 2; T_3 = 0; R_1 = R_2 = 1; R_3 = 5; A_1 = A_2 = 2,5.$$

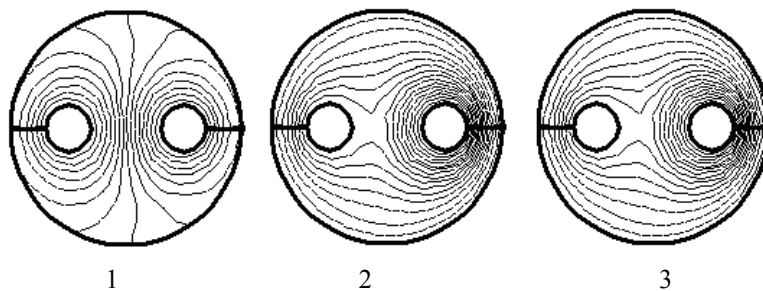


Рис. 3. Изолинии температуры: 1 -  $\alpha_c = 0$ ; 2 -  $\alpha_c = 10$ ; 3 -  $\alpha_c = 100$

Сравнивая результаты рис. 3-2 и 3-3, можно отметить, что поля температуры качественно практически не различаются, хотя значения коэффициентов теплообмена отличаются на порядок.

На рис. 4 приведены результаты расчета температурного поля при отсутствии внутренних источников тепла, а значения остальных пара-

метров были такие же, как и для результата, приведенного на рис. 2-2. На рис. 5, 6 приведены изолинии температуры (в силу симметрии показаны половины областей) для различных вариантов сборок и при граничных условиях III рода: для результатов расчетов, приведенных на рис. 5:  $T_{ж1} = 1; T_{ж2} = 2; \alpha_{ж1} = \alpha_{ж2} = 0,1; q_v = 0; \lambda = 0,1$ ;

для результатов расчетов, приведенных на рис. 6:  $T_{ж1} = 2; \alpha_{ж1} = 100; \alpha_{ж2} = 0; q_v = 1; \lambda = 0,1$ .

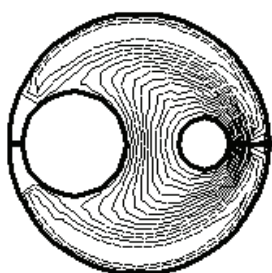


Рис. 4

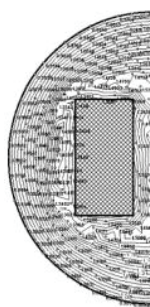


Рис. 5

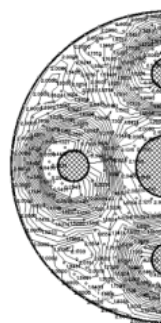


Рис. 6

На рис. 7 - 9 приведены результаты расчетов температурного поля. Значения температур на границах ТВЭЛов и внешней оболочке сборки, а также геометрических параметров были такие же, как и для результатов, приведенных на рис. 2-2. Значения коэффициента теплопроводности материала заполнителя сборки ( $\lambda = 1$ ) были также одинаковыми. Отличие состояло лишь в разных значениях мощности внутренних источников тепла и коэффициента теплообмена  $\alpha_c$ : так, для результатов рис. 7  $q_v = 1; \alpha_c = 0$ ; для результатов рис. 8  $q_v = 0; \alpha_c = 0$ ; для результатов рис. 9  $q_v = 0; \alpha_c = 100$ .

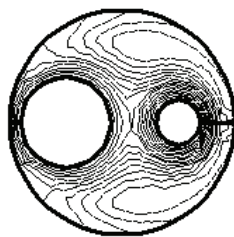


Рис. 7

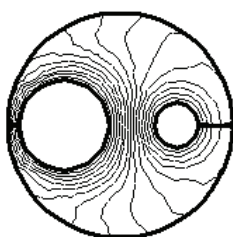


Рис. 8

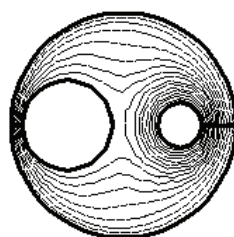


Рис. 9

На рис. 10 - 12 приведены результаты расчетов температурного поля для сборки ТВЭЛов с радиусами  $R_1 = R_2 = 1; R_3 = 5$ . Значения тем-



ператур на границах ТВЭЛов и внешней оболочке сборки были такими же, как и для результатов, приведенных на рис. 2. Значения коэффициентов теплопроводности материала заполнителя сборки  $\lambda = 1$ , теплообмена  $\alpha_c = 10$ , мощности тепловыделений  $q_v = 1$ , местоположения центра первого ТВЭЛа  $A_1 = 1$  были также одинаковыми. Отличие состояло в разных вариантах расположения второго ТВЭЛа. Для результатов рис. 10 -  $A_2 = 2$ ; для результатов рис. 11 -  $A_2 = 3$ ; для результатов рис. 12 -  $A_2 = 3,5$ .

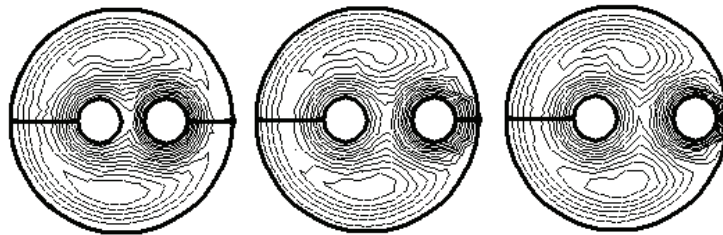
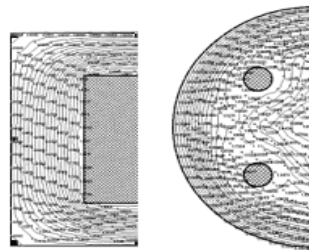


Рис. 10

Рис. 11

Рис. 12

Поля температуры для других вариантов сборки показаны на рис. 13.



1 2

Рис. 13. Изолинии температуры:

- 1 -  $T_c = 1$ ;  $T_{ж} = 2$ ;  $\alpha_{ж} = \alpha_c = 100$ ;  $q_v = 0$ ;  $\lambda = 0,1$ ;  
2 -  $T_c = 0$ ;  $T_{ж} = 1$ ;  $\alpha_{ж} = 0,1$ ;  $\alpha_c = 100$ ;  $q_v = 1$ ;  $\lambda = 0,1$

Для других вариантов расположения ТВЭЛов в сборке нормализованные уравнения  $w_1(x, y)$  и  $w_2(x, y)$  для границ  $\Gamma_1$  и  $\Gamma_2$  приведены в таблице.

Таким образом, предложенные методика и алгоритм позволяют рассчитывать тепловое поле в сборке из ТВЭЛов со сложной геометрией их расположения.

### Нормализованные уравнения участков границы

Участок границы	В виде окружности	В виде прямоугольника
Граница $\Gamma_1$	Окружность радиуса $R_1$ с центром в начале координат $w_1(x, y) = \frac{R^2 - x^2 - y^2}{2R_1}$	Прямоугольник с центром в начале координат и размерами $-RX_1 \leq x \leq RX, -RY_1 \leq y \leq RY$ $w_1(x, y) = \left( \frac{RX_1^2 - x^2}{2RX_1} \right) \cap \left( \frac{RY_1^2 - y^2}{2RY_1} \right)$
Участок границы $\Gamma_2$ , Номер $i$ -го ТВЭЛа	Окружность радиуса $r_i$ с центром в точке $(x_i, y_i)$ $w_{2i} = \frac{r_i^2 - (x-x_i)^2 - (y-y_i)^2}{2r_i}$	Прямоугольник с центром в точке $(X_i, Y_i)$ и размерами $(x - rx_i) \leq x \leq (x + rx_i)$ $(y - ry_i) \leq y \leq (y + ry_i)$ $w_{2i}(x, y) = \left( \frac{rx_1^2 - (x-x_i)^2}{2rx_1} \right) \cap \left( \frac{ry_1^2 - (y-y_i)^2}{2ry_1} \right)$
Граница $\Gamma_2$	Совокупность всех участков границы $\Gamma_2$ $w_{2i}(x, y) = \cap (w_{2i}(x, y))$	

### Библиографические ссылки

1. Рвачев В. Л. Теория R - функций и некоторые ее приложения. Киев, 1982.